

Modelo de água rasa linear 2D aplicado a uma fonte oceanográfica de momentum zonal constante tipo gaussiana centrada no equador

Alejandro H. D. Peralta*

*Instituto de Astronomia, Geofísica e Ciências Atmosféricas
Universidade de São Paulo*

21 de novembro de 2022

Resumo

Neste trabalho apresentamos a aplicação do modelo de água rasa 2D linearizado para o caso oceanográfico para uma grade tipo C Arakawa. No centro da grade tem-se uma fonte constante de momento zonal do vento na região equatorial para três casos de Coriolis ($f = 0$, f constante para a latitude de 20°S e f no plano beta equatorial). As condições de fronteira usadas foram radiacional (oeste, norte e sul) e de tipo rígida na fronteira leste. Os resultados mostram as integrações do tempo como o esquema Leap-frog com a geração de mapas da divergência e vorticidade, e verificação da conservação de massa e energia.

Palavras-chave: Modelo de água rasa, 2D, fonte zonal constante.

sentar fenômenos atmosféricos ou oceanográficos. Nos estudos de qualidade do ar pode representar a variação da camada de mistura ao longo do dia que impacta na concentração dos poluentes. O modelo também tem aplicações oceanográficas onde a fonte do vento zonal pode afetar o deslocamento das correntes como propagação de ondas com variação na altura do fluido, como é ilustrado na Fig. 1. Conforme com Döös et al. (2020), as ondas de gravidade no modelo 1D pode-se propagar ao longo do eixo x em ambas direções com uma velocidade $c = \sqrt{gH}$ sem depender do número de onda pelo que é considerado não dispersivo; onde g é a aceleração da gravidade e H a altura média do fluido.

1. Introdução

O modelo de água rasa considera equações para representar o ajuste geostrófico para o deslocamento das ondas de gravidade e inerciais considerando as propriedades conservativas de momentum e massa (Randall, 2021). O modelo é importante para repre-

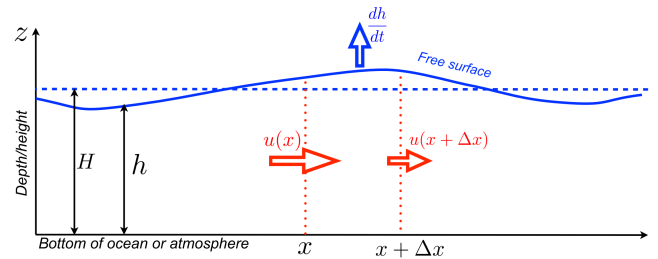


Figura 1: Modelo de água rasa 1D, extraído de Döös et al. (2020).

*Estudante de doutorado, email aperalta@usp.br.

1.1 Modelo de água rasa 2D linearizado

O modelo de água rasa 2D (e.g., nos eixos “x” e “y”) apresenta equações de variação zonal (eq. 1), meridional (eq. 2) e de altura (eq. 3). As equações tem como parâmetros o vento zonal (u), meridional (v), altura geopotencial (ϕ) e a aceleração de Coriolis $f \equiv 2\Omega \sin \varphi$, onde Ω é a frequência angular da rotação da Terra ($\Omega = \frac{2\pi}{86400} \text{ s}^{-1}$) e φ a latitude. As equações estão balanceadas com as fontes de momentum zonal (F_u), meridional (F_v) e de massa (F_ϕ).

$$\frac{\partial u}{\partial t} + u \frac{\partial u}{\partial x} + v \frac{\partial u}{\partial y} - f v + \frac{\partial \phi}{\partial x} = F_u \quad (1)$$

$$\frac{\partial v}{\partial t} + u \frac{\partial v}{\partial x} + v \frac{\partial v}{\partial y} - f u + \frac{\partial \phi}{\partial y} = F_v \quad (2)$$

$$\frac{\partial \phi}{\partial t} + u \frac{\partial \phi}{\partial x} + v \frac{\partial \phi}{\partial y} + \phi \cdot \nabla(V) = F_\phi \quad (3)$$

Se as equações mostradas acima têm um campo básico nulo do vector horizontal \vec{V} , podemos obter as seguintes equações linearizadas balanceadas com as fontes de momentum:

$$\frac{\partial u}{\partial t} - f v + g \frac{\partial h}{\partial x} = F_u, \quad (4)$$

$$\frac{\partial v}{\partial t} - f u + g \frac{\partial h}{\partial y} = F_v, \quad (5)$$

$$\frac{\partial h}{\partial t} + H \left(\frac{\partial u}{\partial x} + \frac{\partial v}{\partial y} \right) = F_\phi. \quad (6)$$

As equações linearizadas podem ser discretizadas para diferentes tipos de grades chamadas de tipo Arakawa (Mesinger et al., 1976). A grade mais usada pelos modelos atmosféricos como o caso do modelo WRF-Chem é do tipo C, ilustrado na Fig. 2. O Coriolis (f) no plano beta equatorial está definido como $f = \beta y$, onde $\beta = \frac{2\Omega}{a}$ (a como rádio da terra equal a 6371000 m). Se usamos o esquema leap-frog para discretizar as equações linearizadas podemos ter as seguintes aproximações:

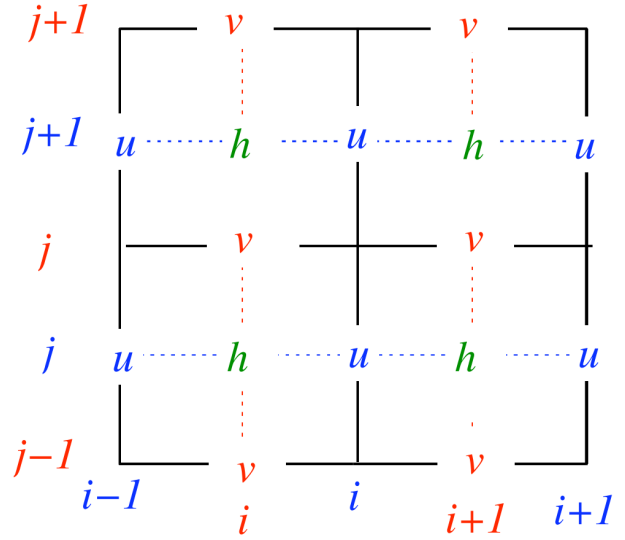


Figura 2: Grade C de Arakawa para o modelo de água rasa linear 2D, extraído de Döös et al. (2020).

$$\frac{u_{i,j}^{n+1} - u_{i,j}^{n-1}}{2\Delta t} = -g \frac{h_{i+1,j}^n - h_{i,j}^n}{\Delta x} + \frac{f}{4} (v_{i,j}^n + v_{i+1,j}^n + v_{i+1,j-1}^n + v_{i,j-1}^n), \quad (7)$$

$$\frac{v_{i,j}^{n+1} - v_{i,j}^{n-1}}{2\Delta t} = -g \frac{h_{i,j+1}^n - h_{i,j}^n}{\Delta y} - \frac{f}{4} (u_{i,j}^n + u_{i,j+1}^n + u_{i-1,j+1}^n + u_{i-1,j}^n), \quad (8)$$

$$\frac{h_{i,j}^{n+1} - h_{i,j}^{n-1}}{2\Delta t} = -H \left(\frac{u_{i,j}^n - u_{i-1,j}^n}{\Delta x} + \frac{v_{i,j}^n - v_{i,j-1}^n}{\Delta y} \right). \quad (9)$$

Conforme com Döös et al. (2020), a análise de estabilidade, assumindo que $\Delta x = \Delta y$, satisfaz o critério para todas as longitudes de onda quando

$$\mu \equiv \frac{\sqrt{gH} \Delta t}{\Delta x} \leq 0.35$$

1.2 Condições de fronteira para o modelo linear 2D

Para as condições de fronteira no caso da grade C tipo Arakawa com $N_x \times N_y$ pontos para h , os componentes zonal (u) e meridional (v) são usados

para representar a propagação radiacional devido que eles têm pontos adicionais nas direções Oeste-Leste (N_x+1) e Sul-Norte (N_y+1), respetivamente em comparação que h . Se consideramos $f=0$, a condição radiacional na fronteira oeste é definida como $\partial u_0/\partial t - c \partial u_0/\partial x = 0$ e discretizada como

$$u_{0,j}^{n+1} = u_{0,j}^n + c \frac{\Delta t}{\Delta x} (u_{1,j}^n - u_{0,j}^n).$$

Na fronteira leste temos uma condição rígida constante conforme às condições estabelecidas pelo exercício 4, discretizado como $u_{N_x+1,j}^{n+1} = 0$. Na fronteira sul a condição radiacional é definida como $\partial v_0/\partial t - c \partial v_0/\partial y = 0$, discretizado como

$$v_{i,0}^{n+1} = v_{i,0}^n + c \frac{\Delta t}{\Delta y} (v_{i,1}^n - v_{i,0}^n).$$

Na fronteira norte a radiacional é $\partial v_{N_y+1}/\partial t + c \partial v_{N_y+1}/\partial y = 0$ que pode ser discretizado como

$$v_{i,N_y+1}^{n+1} = v_{i,N_y+1}^n - c \frac{\Delta t}{\Delta y} (v_{i,N_y+1}^n - v_{i,N_y}^n).$$

1.3 Divergência e vorticidade

As equações 10, 11 estão relacionadas com a equação de água rasa não linearizada. Neste exercício 4, os termos de divergência eq. 10 e vorticidade eq. 11 foram considerados para gerar os mapas respetivos para o caso da integração da fonte constante de vento zonal oceânico.

$$\nabla \cdot \vec{V} = \frac{\partial u}{\partial x} + \frac{\partial v}{\partial y}, \quad (10)$$

$$\nabla \times \vec{V} = \frac{\partial v}{\partial x} - \frac{\partial u}{\partial y}. \quad (11)$$

A vorticidade absoluta, conforme com Döös et al. (2020), está definida como

$$\xi \equiv \left(f + \frac{\partial v}{\partial x} - \frac{\partial u}{\partial y}\right) \frac{1}{h}.$$

1.4 Verificação da conservação da massa e energia

Finalmente, a formulação do modelo preserva as propriedades conservativas e asseguram a estabilidade computacional do modelo. A conservação da massa ajuda em manter a pressão superficial dentro dos valores esperados realistas (Döös et al., 2020), definida como

$$M = \sum_{i=1}^{N_x} \sum_{j=1}^{N_y} h_{i,j} \Delta x \Delta y.$$

A conservação de energia (potencial e cinética) são definidas como segue,

$$E_P = \frac{g}{2} \sum_{i=1}^{N_x} \sum_{j=1}^{N_y} (h_{i,j})^2 \Delta x \Delta y,$$

$$E_K = \frac{H}{2} \sum_{i=1}^{N_x} \sum_{j=1}^{N_y} [(u_{i,j}^n)^2 + (v_{i,j}^n)^2] \Delta x \Delta y.$$

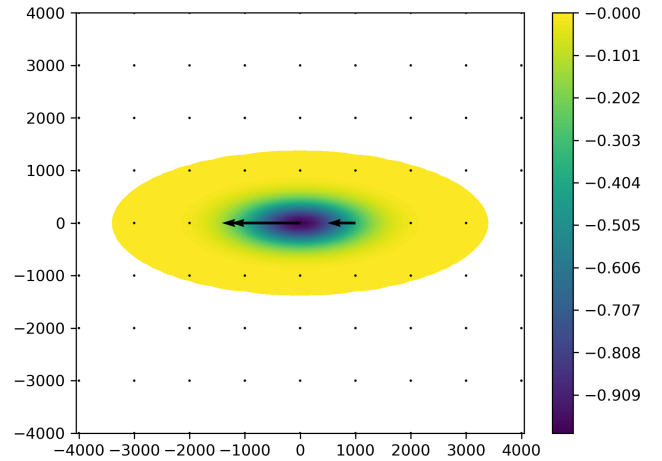


Figura 3: Fonte de momentum zonal F_u com sinal negativo, com alongamento de pontos de $N_{rx}=10$ e $N_{ry}=4$.

2. Descrição da metodologia

O exercício considera três condições com variação do parâmetro Coriolis ($f=0$, $f=f_0$ na latitude 20°S e $f=\beta y$ para o plano beta equatorial). A opção de fonte

escolhida é de tipo oceanográfico de momentum zonal constante com ventos de leste, com gaussiana centrada no equador e alongada na direção zonal (Fig. 3), definida pela eq. 12.

$$Fu = -\frac{\exp\left(\frac{-Xu^2}{(Nrx.\Delta x)^2} - \frac{Yu^2}{(Nry.\Delta y)^2}\right)}{24 * 3600} \quad (12)$$

Onde Xu e Yu são os pontos na direção x e y da componente zonal (u), Nrx e Nry são pontos na direção x e y para definir o alongamento da fonte zonal Fu . Ela representa escoamentos dos ventos do leste no domínio em direção oeste. No processo de formação do El Niño-Southern Oscillation (ENSO) quando os ventos são do leste, temos um fenômeno conhecido como “La Niña” (período frio), como é ilustrado na Fig. 4.

O desenho da grade C no programa Python gerou três tipos de matrizes. O primeiro com o domínio de h de 81×81 pontos com variação espacial desde -4000 km até 4000 km. As duas seguintes apresentam matrizes para os componentes zonal e meridional com pontos adicionais nos eixos X e Y. No [Apêndice A](#), mostramos a configuração do domínio como grade tipo C como base para calcular as aproximações das perturbações da fonte constante zonal do leste. As condições de fronteira escolhidas são radiacional no oeste, norte e sul, e uma condição rígida na fronteira leste. As variáveis escolhidas de H foram de 1 m; os primeiros testes foram conduzidos para um $H = 250$ m. A resolução espacial horizontal é de $\Delta x = \Delta y = 100$ km, com integração numérica para 240 dias com um $\Delta t = 3600$ segundos. O esquema usado é o leap-frog com resultados salvados para cada passo de tempo “ n ”. Também foram calculados o volume e energia total para cada passo de tempo. Finalmente, foram gerados mapas de divergência e vorticidade para o dia 120 que corresponde à metade do período.

Conforme com as sugestões de Döös et al. (2020), primeiro as condições iniciais foram estabelecidas para $n = 0$ para todos os índices i e j numa grade

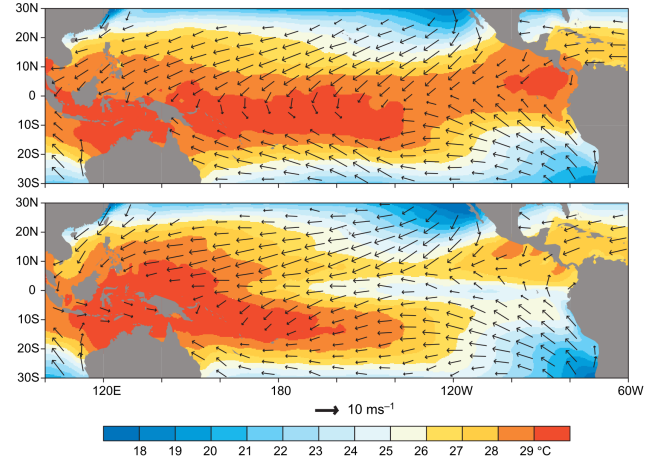


Figura 4: Representação do ciclo ENSO (anos 1997-1998, acima) para a temperatura superficial do mar e ventos de superfície comparado com novembro-abril de período frio (1998-1999, abaixo). Figura extraída de Wallace e Hobbs (2006).

tipo C: $u_{i+1,j}^{n=0} = 0$, $v_{i,j+1}^{n=0} = 0$, $h_{i,j}^{n=0} = 0$. Depois, a integração das equações do modelo de água rasa considerou o esquema *Euler-forward* para o primeiro passo de tempo ($n = 1$). Os seguintes passos de tempo seguiram com uma integração das equações com o esquema leap-frog. A programação da discretização das equações foi escrita em código de Python, disponível no GitHub “Modelagem”, Exercício 4, [functions.py](#).

3. Resultados

Os resultados de variação de ‘ h ’ e os ventos para o caso da fonte de momentum zonal constante (vento forçante de leste, como mostra a Fig. 3) são mostrados na Fig. 5 para diferentes valores de Coriolis ($f = 0$, f constante para a latitude $20^\circ S$ e variação de f no plano beta equatorial). Os mapas de divergência e vorticidade são apresentados na Fig. 6.

A Fig. 7 mostra o volume e energia total dos resultados de simulação para cada cenário.

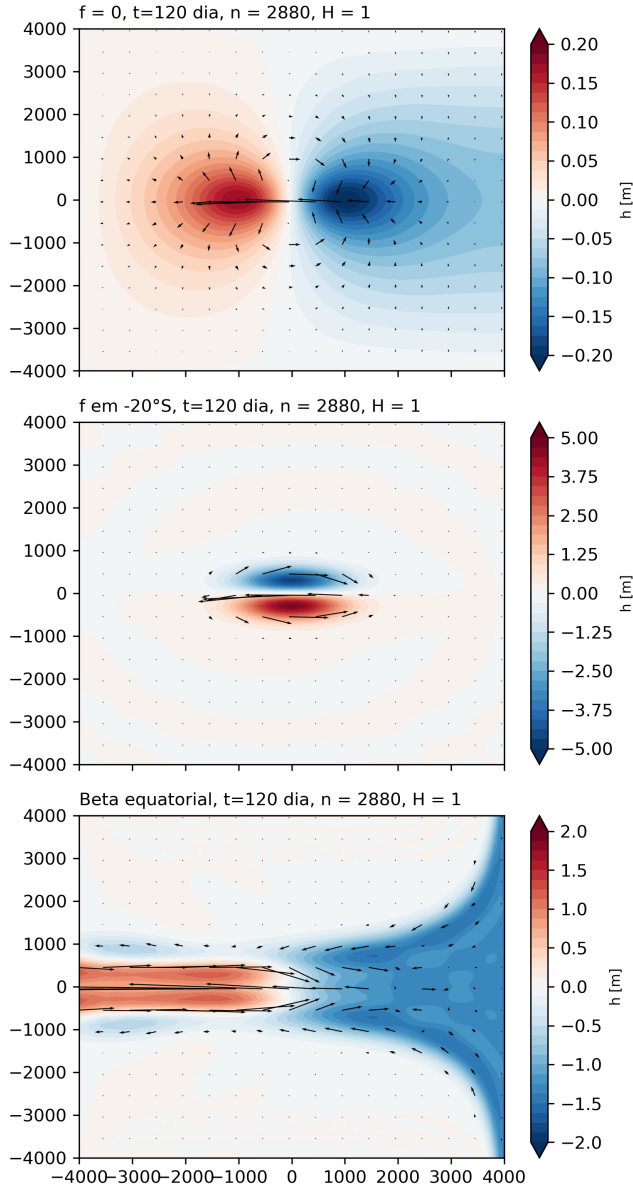


Figura 5: Variação de h com fonte de momentum zonal para diferentes valores de Coriolis (f).

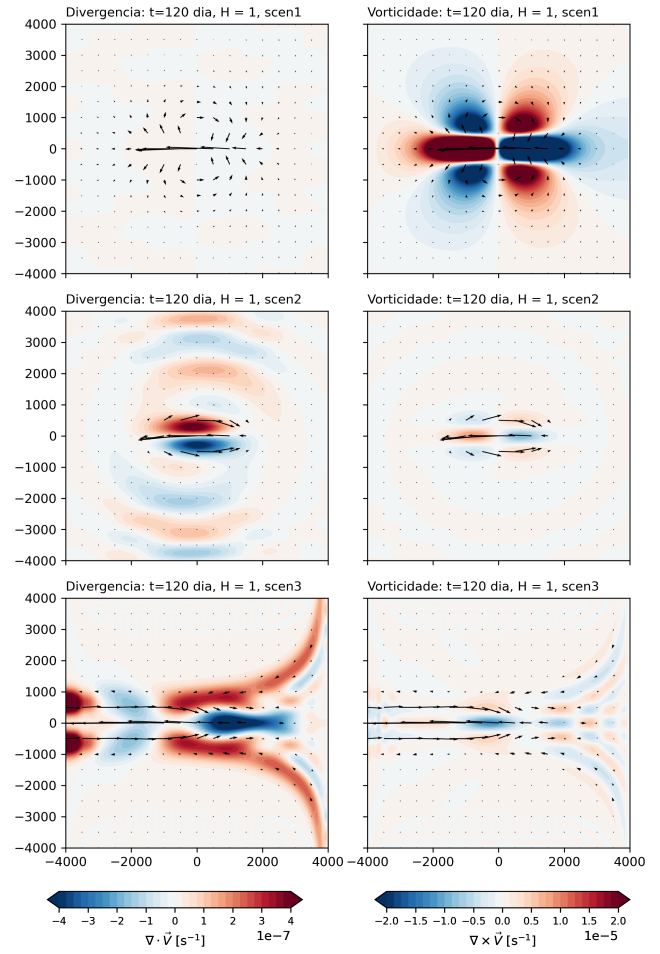


Figura 6: Mapas da divergência e vorticidade para os diferentes cenários: ‘scen1’ ($f = 0$), ‘scen2’ (f constante na latitude -20°S) e ‘scen3’ (plano beta equatorial).

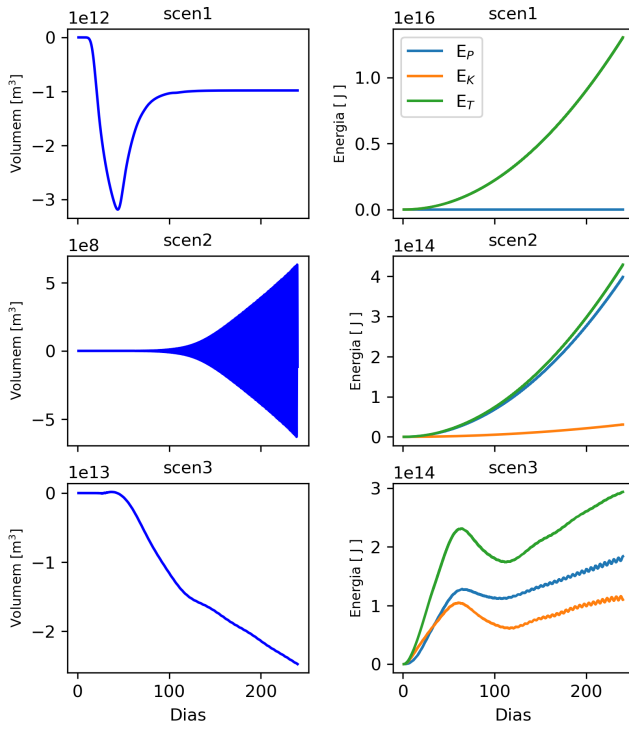


Figura 7: Volume e energia total para cada cenário. E_P = energia potencial, E_K = energia cinética e $E_T = E_P + E_K$.

4. Discussão dos resultados

Bibliografia

- Döös, K., Lundberg, P., Campino, A.A. (2020). Basic Numerical Methods in Meteorology and Oceanography, 1.^a ed. Department of Meteorology, Stockholm University, Stockholm.
- Mesinger, F., Arakawa, A., Committee, G.A.R. Programme.J.O., Scientific Unions, I.C. of, Organization, W.M. (1976). [Numerical Methods Used in Atmospheric Models](#). World Meteorological Organization, International Council of Scientific Unions.
- Randall, D.A. (2021). An Introduction to Numerical Modeling of the Atmosphere.
- Wallace, J.M., Hobbs, P.V. (2006). Atmospheric Science An Introductory Survey, ELSEVIER. ed. University of Washington, London.

Apêndice A

A Fig. 8 mostra o domínio usado para simular os três experimentos.

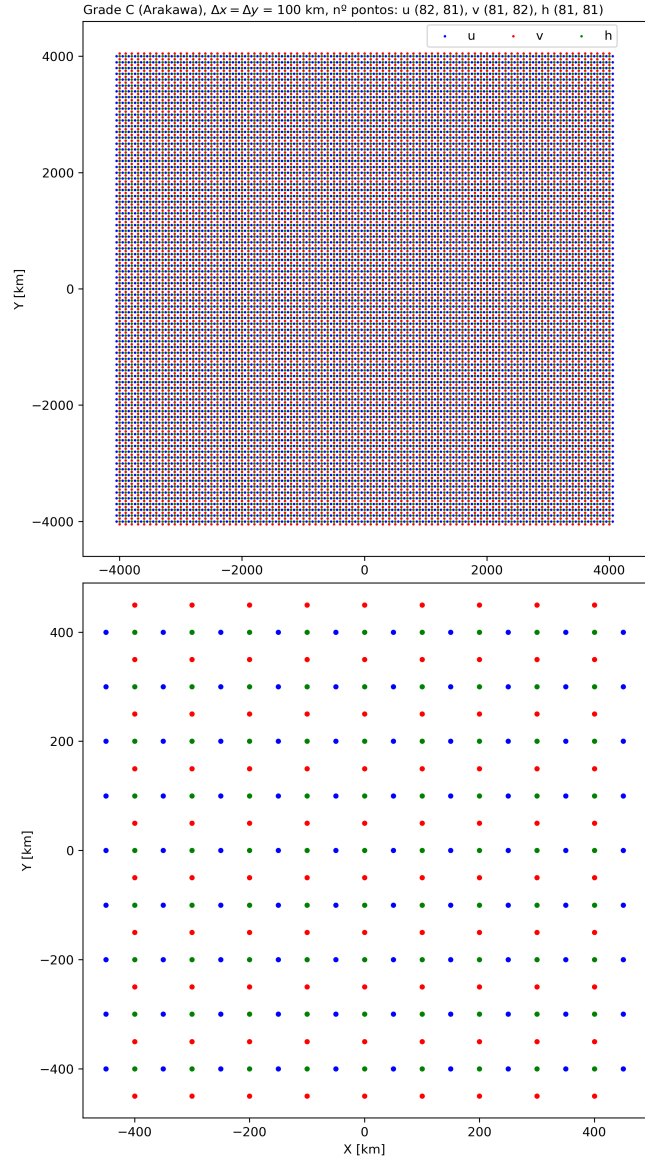


Figura 8: Configuração da grade C tipo Arakawa para os três experimentos. Acima está o domínio e abaixo um acercamento na parte central do domínio